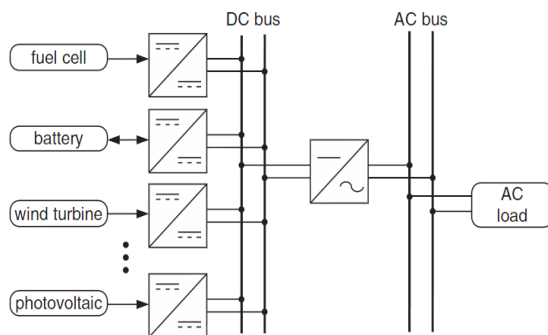
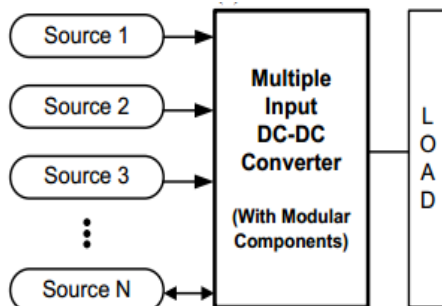


بررسی و تحلیل یک مبدل چندورودی کلیدزنی نرم جهت استفاده برای منابع انرژی تجدیدپذیر

بهروز مظاہری تهرانی، مهدی خرمدشتی، بهمن ریسی و احسان ادیب



شکل ۱: استفاده از مبدل‌های جداگانه و تزریق به [۱] DC-Bus.



شکل ۲: نحوه کار مبدل چندورودی [۱].

تزریق و از آن استفاده کرد [۱]، اما در این روش برای هر منبع مبدلی جداگانه استفاده می‌گردد که این امر با توجه به تعداد المان‌های مورد نیاز، هزینه‌ها را به شدت افزایش می‌دهد. از این رو تحقیقاتی برای دستیابی به سیستمی که به تنهایی قادر به پردازش منابع مختلف و تأمین انرژی خروجی باشد انجام پذیرفت و مبدل‌های چندورودی به منظور کاهش هزینه‌ها و افزایش بازده ارائه گردید. در این روش همان طور که در شکل ۲ مشخص است، منابع مختلف از طریق یک مبدل چندورودی انرژی مورد نیاز را تأمین می‌نماید. از جمله مزایای این روش می‌توان به بالارفتن بازده، کاهش اندازه مدار و تعداد قطعات آن و در نتیجه کاهش هزینه اشاره کرد.

مبدل‌های چندورودی را بر اساس نحوه انتقال توان به خروجی می‌توان به دو دسته مبدل‌های تزویج شده مغناطیسی و مبدل‌های تزویج شده الکتریکی تقسیم نمود. در مبدل‌های تزویج شده مغناطیسی با ایجاد شار در هسته ترانسفورمر و انتقال آن به خروجی انرژی مورد نیاز تأمین می‌گردد [۲] اما مبدل‌های تزویج شده الکتریکی از اتصال مناسب مبدل‌های پایه به یکدیگر بر اساس قوانین مشخص ایجاد می‌گردد [۳].

با اضافه کردن چندین المان کمکی به ساختارهای تزویج شده مغناطیسی یا الکتریکی می‌توان ساختارهای چندورودی با شرایط کلیدزنی نرم ایجاد کرد. مبدل‌های معرفی شده در [۴] و [۵] اگرچه شرایط کلیدزنی نرم را برای کلیدها فراهم کرده‌اند، ولی این ساختارها دارای المان‌های نیمه‌هادی زیادی هستند که این عامل باعث افزایش هزینه‌های مبدل‌ها

چکیده: یکی از چالش‌های موجود در استفاده از انرژی‌های تجدیدپذیر عدم توانایی این منابع در تأمین پایدار انرژی مورد نیاز برای کاربردهای گوناگون می‌باشد تا بتوان از آن در نیازهای روزمره نیز استفاده کرد. با توجه به مشکل بیان شده، در بسیاری از کاربردها نیاز به منابع متعدد مانند باد، خورشید، باتری و پیل سوختی به طور همزمان می‌باشد تا بتوان در موقع لزوم از آن استفاده کرد، اما استفاده از مبدل‌های جداگانه برای هر منبع با توجه به هزینه بالا مقرر نیست. مبدل‌های چندورودی امکان استفاده از چند منبع در کنار یکدیگر را توسط یک مبدل فراهم می‌کند تا با کاهش تعداد المان‌های موجود در مدار هزینه‌ها به طور قابل ملاحظه‌ای کاهش یابد. در این مقاله مبدل چندورودی با کلیدزنی نرم ارائه می‌شود. در این مبدل تنها با استفاده از یک مدار کمکی برای هر دو کلید مبدل شرایط کلیدزنی نرم فراهم شده است. مبدل چندورودی کلیدزنی نرم پیشنهادی تحلیل و صحبت راهکارهای پیشنهادی در قالب تحلیل‌های نظری و نتایج شبیه‌سازی اثبات می‌گردد.

کلیدواژه: مبدل‌های چندورودی، کلیدزنی نرم، انرژی تجدیدپذیر.

۱- مقدمه

امروزه با توجه به رو به پایان‌بودن انرژی‌های فسیلی و همچنین آلودگی این نوع انرژی، استفاده از انرژی‌های تجدیدپذیر مانند انرژی خورشیدی، انرژی بادی و ... به صورت روزافزونی افزایش یافته است. اما در بسیاری موارد این انرژی‌ها به تنهایی قادر به تأمین انرژی مورد نیاز نمی‌باشند. برای مثال هنگامی که از انرژی خورشیدی استفاده می‌شود، حتی در صورتی که در طول روز با تابش نور خورشید انرژی مورد نیاز تأمین گردد برای تأمین انرژی در هنگام تاریکی هوا نیاز به منبع ثانویه‌ای می‌باشد و یا به عنوان مثال دیگر، در خودروهای برقی که با سوخت پیل سوختی انرژی خود را تأمین می‌کنند، در هنگام شتاب‌گرفتن خودرو نیاز به منبع ثانویه‌ای می‌باشد که توان مورد نیاز جهت شتاب‌دادن به خودرو را تأمین کند. امروزه شمار کاربردهایی که به بیشتر از یک منبع توان نیاز داشته باشند رو به افزایش است و بنابراین باید روشی برای استفاده از منابع مختلف ارائه گردد. همان طور که در شکل ۱ نشان داده شده است می‌توان این منابع را به صورت مجزا توسط مبدل مناسبی به DC Bus

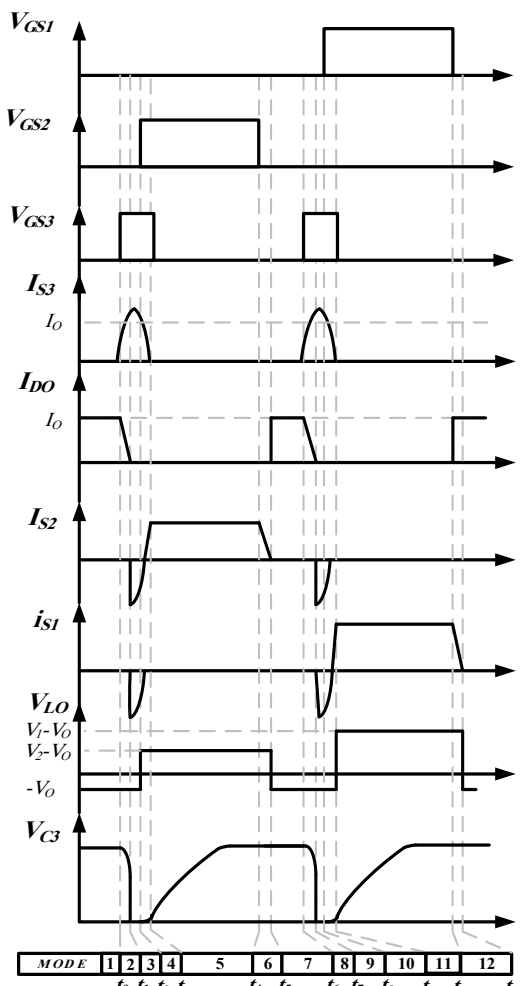
این مقاله در تاریخ ۱۶ فروردین ماه ۱۳۹۷ دریافت و در تاریخ ۱۱ آبان ماه ۱۳۹۷ بازنگری شد.

بهروز مظاہری تهرانی، دانشکده مهندسی برق و کامپیوتر، دانشگاه صنعتی اصفهان، اصفهان، ایران، (email: bmazaheri155@gmail.com).

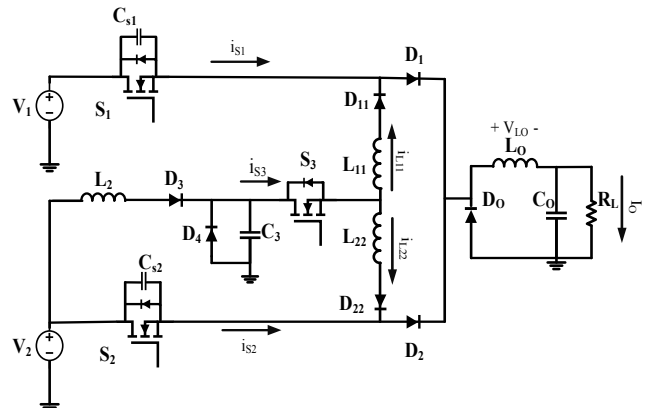
مهدی خرمدشتی، دانشکده مهندسی برق و کامپیوتر، دانشگاه صنعتی اصفهان، اصفهان، ایران، (email: mehdy.khorram@gmail.com).

بهمن ریسی، دانشکده مهندسی برق و کامپیوتر، دانشگاه صنعتی اصفهان، اصفهان، ایران، (email: bahman.raeisi@yahoo.com).

احسان ادیب (نویسنده مسئول)، دانشکده مهندسی برق و کامپیوتر، دانشگاه صنعتی اصفهان، اصفهان، ایران، (email: e.adib@cc.iut.ac.ir).



شکل ۴: شکل موج‌های کلیدی.



شکل ۳: مدل پیشنهادی.

شده است. مرجع [۶] یک ساختار دوورودی را معرفی کرده که در این ساختار کلیدها به صورت نرم تغییر وضعیت می‌دهند ولی در این مدل یکی از ورودی‌ها به صورت شناور مورد استفاده قرار می‌گیرد که این مورد باعث ایجاد محدودیت در انتخاب منبع ورودی می‌شود. همچنین به علت استفاده از ساختار محدودکننده فعال، در توان‌های پایین شرایط کلیدزنی نرم از رود زیرا انرژی لازم در سلف رزونانس جهت تخلیه خازن‌ها در توان پایین وجود ندارد. در [۷] تا [۱۰] این نوع مدل‌های پایه به روش الکتریکی تزویج شده‌اند و چندین ساختار چندورودی با این شیوه به وجود آمده‌اند. این ساختارها علی‌رغم سادگی، دارای کلیدزنی سخت می‌باشند و در نتیجه بازده بالای ندارند. در ساختار معرفی شده در [۱۱] دو مدل باک به عنوان مدل ورودی استفاده شده‌اند و یک ساختار دوورودی را به وجود آورده‌اند. این ساختار مانند مدل [۶] دارای یک ورودی با زمین شناور بوده و همچنین تمام کلیدها به صورت سخت تغییر وضعیت می‌دهند. در [۱۲] با اضافه‌شدن یک دیود اضافی به مدل [۶]، بازده ساختار اندکی افزایش یافته است ولی هنوز محدودیت ورودی شناور وجود دارد.

در مدار پیشنهادی در این مقاله سعی بر آن شده که با اضافه کردن کمترین المان شرایط کلیدزنی نرم برای این مدل فراهم گردد. از مزایای این مدار می‌توان به تعداد کم المان‌های مدار، کنترل ساده و کلیدزنی نرم کلیدهای آن و به تبع آن تلفات کم اشاره کرد. همچنین در مدار پیشنهادی، مدار کمکی هم در جذب توان و انتقال آن به خروجی نقش دارد و در هر توانی شرایط کلیدزنی نرم را فراهم می‌کند. علاوه بر این مدار کمکی می‌تواند خود به یک ورودی سوم متصل شده و از آن توان جذب کند که مزیت اصلی این مدار نسبت به ساختارهای مشابه است. همچنین از این مدل می‌توان در به کارگیری انرژی‌های تجدیدپذیر از جمله انرژی بادی، خورشیدی و ... به صورت همزمان استفاده نمود. در این مقاله ابتدا به معرفی مدل پیشنهادی پرداخته می‌شود و پس از آن وضعیت‌های عملکردی آن مورد بررسی قرار می‌گیرد و در ادامه صحت عملکرد آن توسط نتایج شبیه‌سازی با نرم‌افزار OrCAD-PSpice اثبات می‌گردد.

۲- مدل پیشنهادی

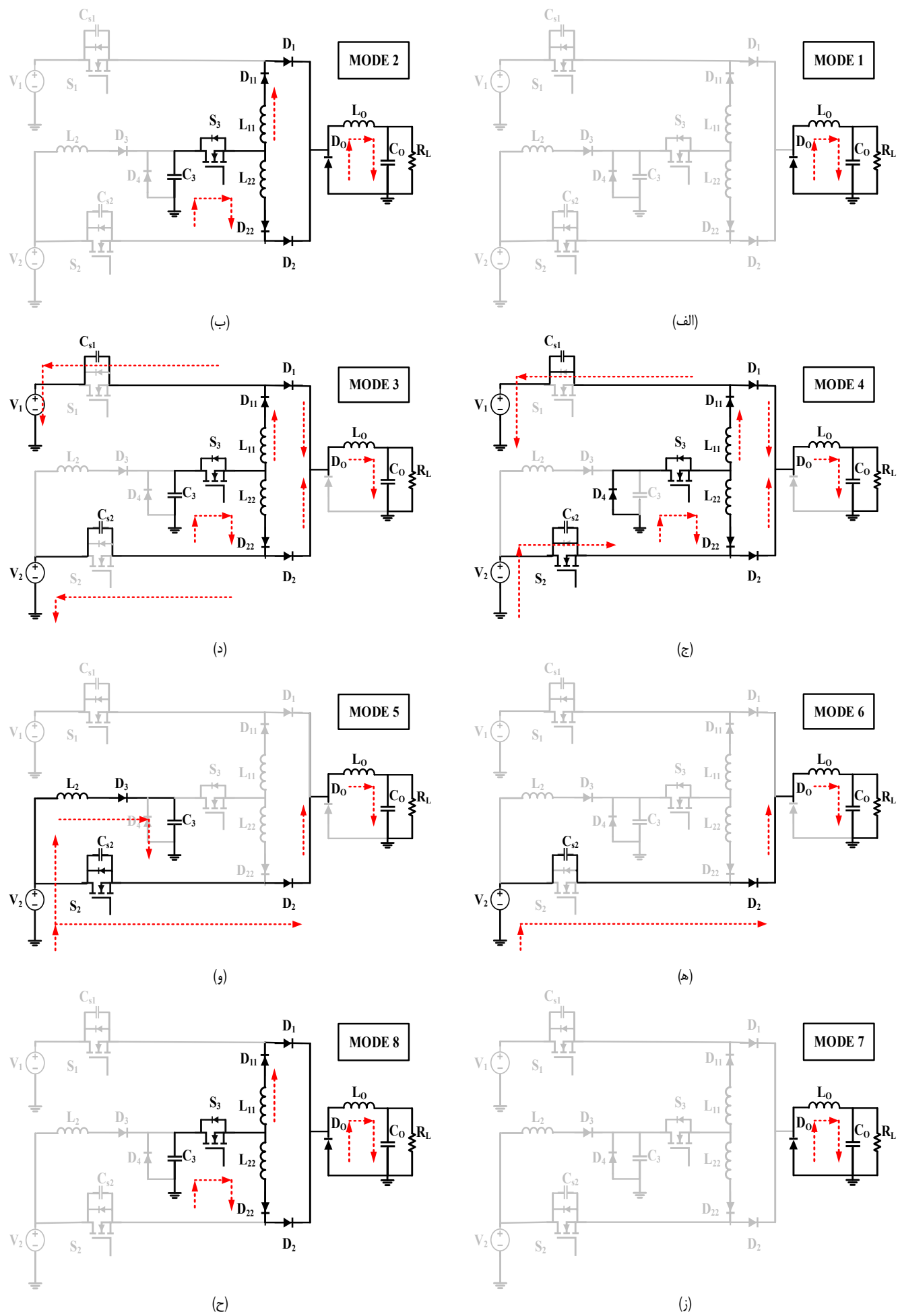
شکل ۳ مدل پیشنهادی را نشان می‌دهد که شرایط کلیدزنی نرم برای تمامی المان‌های نیمه‌هادی این مدار فراهم گشته است. این مدار یک مدل باک دوورودی می‌باشد که از دو بخش ورودی، یک بخش مدار کمکی و یک بخش خروجی تشکیل شده است.

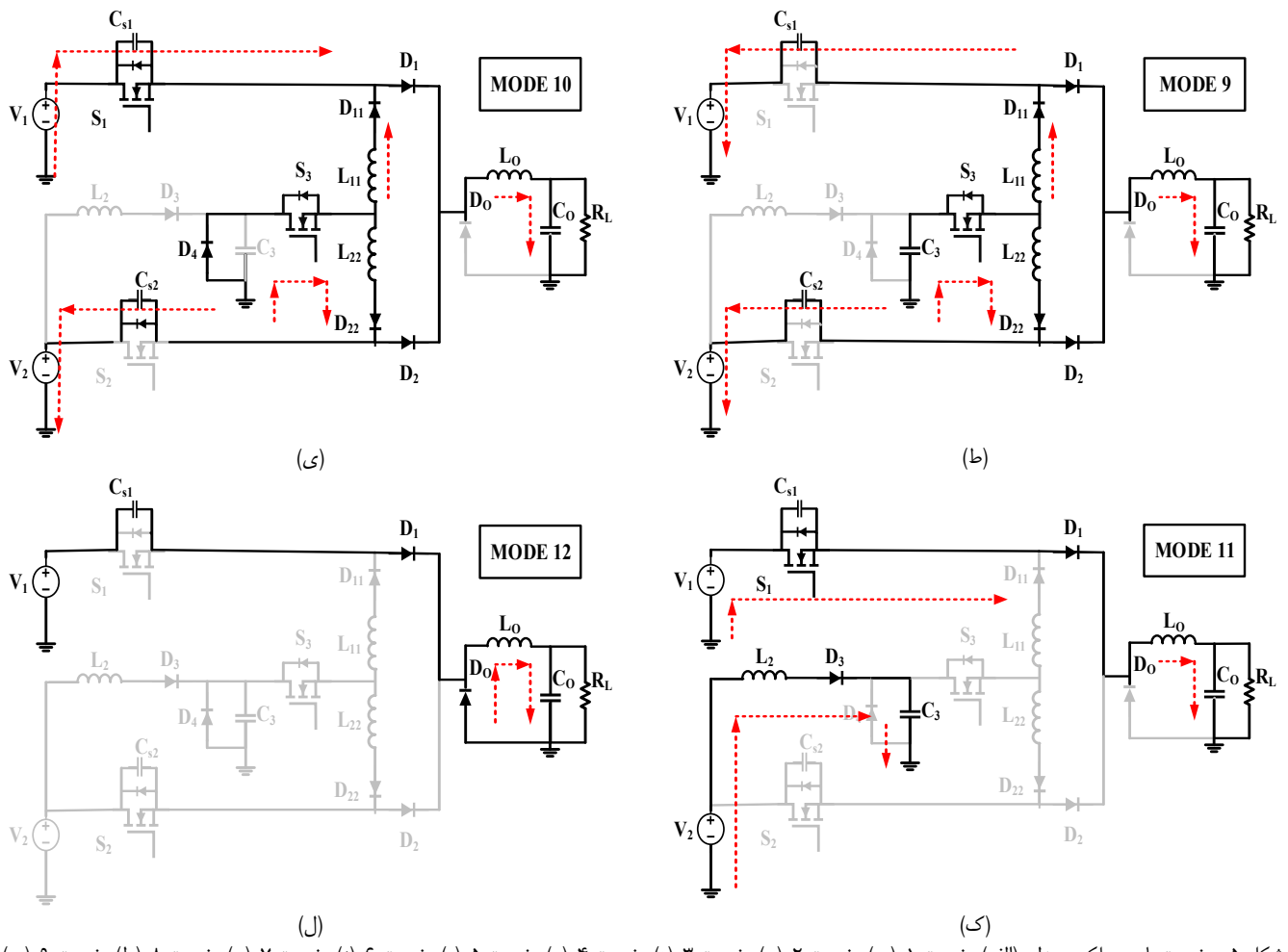
۲-۱ اجزای مدل پیشنهادی

همان طور که در شکل ۳ مشخص است این مدار دارای دو ورودی V_1 و V_2 است که هر یک می‌توانند توان خود را به خروجی منتقل نمایند و توسط کلیدهای S_1 و S_2 به مدار اضافه می‌گردند. علاوه بر این دو ورودی، یک مدار کمکی وجود دارد که شرایط کلیدزنی نرم دو ورودی دیگر را فراهم می‌کند. مدار کمکی می‌تواند به جای اتصال به ورودی دوم، به ورودی دیگری متصل شود و ضمن فراهم کردن کلیدزنی نرم، مدل سه ورودی ایجاد کند. علت این امر در مراحل کاری مدار مشخص می‌باشد زیرا مدار کمکی خود توان جذب کرده و به خروجی منتقل می‌کند. مدار شامل دو دیود یکسونکننده D_1 و D_2 و دیودهای D_{11} ، D_{12} و D_{21} برای فراهم‌آمدن شرایط کلیدزنی نرم می‌باشد. خازن‌های استنبر C_{s1} - C_{s2} و سلف‌های L_{11} ، L_{12} و L_{21} نیز برای فراهم‌آوردن شرایط کلیدزنی نرم به مدار اضافه شده‌اند. همچنین شکل موج‌های کلیدی مدل و وضعیت‌های عملکرد آن به ترتیب در شکل‌های ۴ و ۵ نشان داده شده است.

۲-۲ وضعیت‌های عملکرد مدار

شکل موج‌های اصلی مدار در حالت پایدار در شکل ۴ نشان داده شده است. عملکرد مدار با در نظر گرفتن فرض‌های زیر مورد بررسی قرار می‌گیرد: تمامی المان‌های نیمه‌هادی و سلفها و خازن‌های مدار به صورت ایده‌آل در نظر گرفته می‌شوند. سلف L_s نسبت به سلف‌های L_{11}





شکل ۵: وضعیت‌های عملکرد مبدل، (الف) وضعیت ۱، (ب) وضعیت ۲، (ج) وضعیت ۳، (د) وضعیت ۴، (ه) وضعیت ۵، (و) وضعیت ۶، (ز) وضعیت ۷، (خ) وضعیت ۸، (ط) وضعیت ۹، (ی) وضعیت ۱۰، (ک) وضعیت ۱۱ و (ل) وضعیت ۱۲.

$$V_{C_r}(t) = \sqrt{2}V_r \cos \omega_r(t - t_r) \quad (1)$$

$$i_{L_r}(t) = i_{L_{rr}}(t) = \frac{V_r}{Z_{r_r}} \sin \omega_r(t - t_r) \quad (2)$$

که در آن Z_{r_r} و ω_r طبق رابطه زیر به دست می‌آید

$$\omega_r = \frac{1}{\sqrt{\frac{L_{rr}}{2} C_r}} = \frac{1}{\sqrt{\frac{L_{rr}}{2} C_{s_r}}} \quad (3)$$

$$Z_{r_r} = \sqrt{\frac{L_{rr}}{2C_r}} = \sqrt{\frac{L_{rr}}{2C_{s_r}}} \quad (4)$$

وضعیت سوم ($t_r - t_r$)

پس از رسیدن جریان $i_{l_1} + i_{l_2}$ به جریان خروجی و خاموش شدن دیود خروجی، رزونانسی بین خازن C_r ، سلفهای L_{rr} و خازن‌های استنبر C_{s_r} و C_{s_2} شکل می‌گیرد و ولتاژ خازن‌های استنبر C_{s_r} و C_{s_2} به صفر می‌رسد و دیود بدن کلیدهای S_1 و S_2 روشن می‌گردد. با توجه به این که در لحظه شروع این وضعیت جریان $i_{l_{rr}} = i_{l_{rr}} = 0.5I_O$ است، ولتاژ اولیه خازن C_{s_r} برابر V_r و ولتاژ اولیه خازن C_{s_2} برابر V_r است، ولتاژ اولیه خازن C_r از (۷) به دست می‌آید

$$V_{C_{s_r}}(t) = V_r - \frac{1}{C_{s_r}} \int_{t_r}^t (i_{l_{rr}} - \frac{I_O}{2}) dt \quad (5)$$

و L_{rr} بزرگتر در نظر گرفته می‌شود. مقادیر سلفهای L_{rr} و L_{rr} همچنین مقادیر خازن‌های استنبر C_{s_r} و C_{s_2} برابر در نظر گرفته می‌شوند. بین ورودی‌های مدار رابطه $V_r > V_r$ برقرار است.

وضعیت اول ($t < t_r$)

در ابتدا مدار در حالت هرزگردی مبدل باقی قرار دارد. کلیدهای S_1 و S_2 خاموش و جریان سلف خروجی از طریق دیود D_O به صورت هرزگرد در گردش می‌باشد. مقادیر ولتاژ خازن C_{s_r} برابر V_r ، خازن C_{s_2} برابر V_r و خازن C_r برابر $2V_r$ می‌باشد. مدار معادل این وضعیت در شکل ۵ نشان داده شده است.

وضعیت دوم ($t_r - t_r$)

قبل از روشن شدن کلیدهای S_1 و S_2 کلید S_r با توجه به سری‌بودن این کلید با سلفهای L_{rr} و L_{rr} تحت شرایط جریان صفر روشن می‌گردد. با روشن شدن کلید S_r رزونانسی بین سلفهای L_{rr} و L_{rr} و خازن C_r شکل می‌گیرد و جریان سلفهای L_{rr} و L_{rr} افزایش می‌یابد. با کمتر شدن ولتاژ V_{C_r} از ولتاژ V_r روشن می‌گردد و بین سلف L_r و خازن C_r رزونانس شکل می‌گیرد اما همان طور که بیان شد با توجه به بزرگ‌تر بودن سلف L_r از سلفهای L_{rr} و L_{rr} از اثر رزونانس بین سلف L_r و خازن C_r صرف نظر می‌گردد. این حالت با رسیدن جریان $i_{l_1} + i_{l_2}$ به جریان خروجی و خاموش شدن دیود خروجی تحت شرایط ولتاژ و جریان صفر به پایان می‌رسد. روابط رزونانس در این حالت به صورت زیر است

حالات خودداری می‌گردد.

وضعیت نهم $(t_7 - t_8)$

پس از رسیدن جریان $i_{L_1} + i_{L_2}$ به جریان خروجی و خاموش شدن دیود خروجی رزونانسی بین خازن C_2 ، سلفهای L_{11} ، L_{12} و خازن‌های استابر C_{51} و C_{52} شکل می‌گیرد و ولتاژ خازن‌های استابر C_{51} و C_{52} به صفر می‌رسد و دیودهای بدن کلیدهای S_1 و S_2 روشن می‌گردند.

وضعیت دهم $(t_8 - t_9)$

پس از هدایت دیود بدن کلیدهای S_1 و S_2 ، جریان سلفهای رزونانس به سمت صفر می‌رود و کلید S_1 در ولتاژ صفر روشن می‌شود. علت روشن شدن کلید در ولتاژ صفر هدایت دیود بدن کلید و بنا بر این ولتاژ دو سر کلید در حدود ولتاژ آستانه هدایت یک دیود بوده و تقریباً برابر صفر است. در انتهای این مرحله، جریان سلفهای رزونانس صفر شده و جریان سلف باک از کلید یک خواهد گذاشت. همچنین با صفرشدن ولتاژ خازن C_{51} ، دیود D_{51} روشن می‌شود.

وضعیت یازدهم $(t_9 - t_{10})$

در طول زمانی که سلف خروجی توسط منبع V_7 شارژ می‌گردد رزونانسی بین سلف L_4 و خازن استابر C_4 اتفاق می‌افتد که بر اثر آن ولتاژ خازن C_4 تا دو برابر ولتاژ V_7 افزایش می‌یابد. این انرژی تا زمان روشن شدن کلید S_4 و تخلیه آن توسط سلفهای L_{11} و L_{12} در خازن باقی می‌ماند. روابط اصلی این بخش به شرح ذیل می‌باشد.

وضعیت دوازدهم $(t_{10} - t_{11})$

پس از طی شدن ضربی وظیفه کلید S_4 ، با توجه به وجود خازن استابر C_{51} ، این کلید تحت شرایط کلیدزنی نرم خاموش می‌گردد و با خاموش شدن کلید S_4 خازن استابر شروع به شارژشدن می‌کند و سپس دیود خروجی D_{51} روشن می‌گردد و ولتاژ خازن استابر C_{51} تا مقدار ولتاژ منبع ورودی V_7 و ولتاژ خازن استابر C_{52} تا مقدار ولتاژ منبع ورودی V_7 افزایش می‌یابد.

خازن‌های استابر و سلفهای L_{11} و L_{12} مانند خازن و سلف استابر عادی طراحی می‌شوند. خازن‌های استابر C_{51} و C_{52} خازن استابر خاموش شدن کلیدهای اصلی و سلفهای L_{11} و L_{12} نیز استابر روزنکردن سوییچ کمکی می‌باشد. طراحی این المان‌ها در مراجع الکترونیک قدرت بحث شده است. خازن C_4 باید به گونه‌ای انتخاب شود تا انرژی ذخیره شده در آن بتواند خازن‌های استابر را تخلیه کند و جریان سلفهای استابر را تا جریان سلف خروجی باک افزایش دهد

$$C_{51}(2V_7)^2 > C_{51}(V_7)^2 + C_{52}(V_7)^2 + \frac{L_{11}I_0}{2} \quad (11)$$

همچنین سلف L_4 ، حداقل پنج برابر سلفهای استابر L_{11} و L_{12} انتخاب می‌شوند تا مدار مطابق مدهای بحث شده عمل کند. از آنجایی که توان خروجی اکثر پنل‌های خروجی در بازه ۲۰ تا ۱۵۰ وات می‌باشد، این مبدل باید به گونه‌ای طراحی شود که توان هر ورودی تقریباً در همین بازه قرار گیرد. جدول ۱ مقادیر طراحی شده برای مبدل پیشنهادی در توان ۱۸۰ وات است. بر اساس نتایج شبیه‌سازی، در این شرایط از کل توان خروجی ۸۰ وات آن مربوط به منبع ۶۵ ولت و ۵۰ وات آن مربوط به منبع ۴۰ ولتی و ۵۰ وات آن مربوط به مدار کمکی است که می‌تواند از یک منبع اضافی فراهم شود و در حال حاضر از منبع ۶۵ ولتی جذب شده است. البته در صورت انتخاب مقادیر بزرگ‌تر برای سلف و خازن رزونانس، می‌تواند توان بیشتری هم توسط مدار کمکی فراهم شود. توانی که توسط مدار کمکی

$$V_{C_{51}}(t) = V_7 - \frac{1}{C_{51}} \int_{t_7}^t (i_{L_1} - \frac{I_0}{2}) dt \quad (6)$$

$$V_{C_4}(t) = V_{C_4}(t_7) - \frac{1}{C_4} \int_{t_7}^t (i_{L_4} + i_{L_1}) dt \quad (7)$$

وضعیت چهارم $(t_4 - t_7)$

با روشن شدن دیود موازی معکوس کلیدهای S_1 و S_2 این کلیدها می‌توانند تحت شرایط کلیدزنی نرم روشن گردند. با روشن شدن کلید S_1 تا ولتاژ $V_7 - V_O$ دو سر سلف خروجی قرار می‌گیرد و خازن استابر C_{51} تا ولتاژ $V_7 - V_4$ شارژ می‌گردد. همچنین به علت رزونانس بین L_{11} و L_{12} جریان i_{L_1} و i_{L_2} کاهش می‌یابد و با صفرشدن جریان کلید S_2 این کلید تحت جریان صفر خاموش می‌گردد. همچنین با صفرشدن ولتاژ خازن C_4 ، دیود D_4 روشن می‌شود.

وضعیت پنجم $(t_4 - t_5)$

در طول زمانی که سلف خروجی توسط منبع V_7 شارژ می‌گردد رزونانسی بین سلف L_4 و خازن استابر C_4 اتفاق می‌افتد که بر اثر آن ولتاژ خازن C_4 تا دو برابر ولتاژ V_7 افزایش می‌یابد. این انرژی تا زمان روشن شدن کلید S_4 و تخلیه آن توسط سلفهای L_{11} و L_{12} در خازن باقی می‌ماند. روابط اصلی این بخش به شرح ذیل می‌باشد

$$V_{C_4}(t) = V_7(1 - \cos \omega(t - t_7)) \quad (8)$$

$$\omega = \frac{1}{\sqrt{L_4 C_4}} \quad (9)$$

$$Z_4 = \sqrt{\frac{L_4}{C_4}} \quad (10)$$

وضعیت ششم $(t_5 - t_6)$

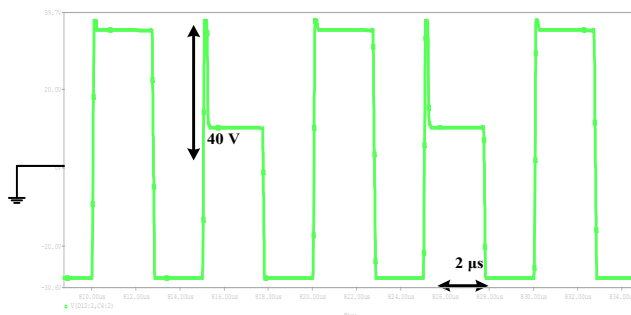
پس از طی شدن ضربی وظیفه کلید S_4 ، با توجه به وجود خازن استابر C_{51} کلید تحت شرایط کلیدزنی نرم خاموش می‌گردد و با خاموش شدن کلید S_4 خازن استابر شروع به شارژشدن می‌کند و با صفرشدن ولتاژ دیود خروجی D_{51} روشن می‌گردد و ولتاژ خازن استابر C_{51} تا مقدار ولتاژ منبع ورودی V_7 و ولتاژ خازن استابر C_{52} تا مقدار ولتاژ منبع ورودی V_7 افزایش می‌یابد.

وضعیت هفتم $(t_6 - t_7)$

تا زمان روشن شدن کلید S_4 ، مدار در حالت هرزگردی بوده و جریان سلف خروجی از طریق دیود خروجی در گردش می‌باشد.

وضعیت هشتم $(t_6 - t_8)$

قبل از روشن شدن کلید S_4 کلید S_1 با توجه به سری‌بودن با سلفهای L_{11} و L_{12} و افزایش تحریجی جریان آن تحت شرایط جریان صفر روشن می‌گردد. با روشن شدن کلید S_4 رزونانسی بین سلفهای L_{11} و L_{12} و خازن C_4 شکل می‌گیرد و جریان سلفهای L_{11} و L_{12} افزایش می‌یابد. با کمتر شدن ولتاژ V_{C_4} از ولتاژ V_7 ، دیود D_4 روشن می‌گردد و بین سلف L_4 و خازن C_{51} رزونانس شکل می‌گیرد. اما همان طور که بیان شد با توجه به بزرگ‌تر بودن سلف L_4 از سلفهای L_{11} و L_{12} از اثر رزونانس بین سلف L_4 و خازن C_4 صرف نظر می‌گردد. این حالت با رسیدن جریان $i_{L_4} + i_{L_1}$ به جریان خروجی و خاموش شدن دیود خروجی تحت شرایط ولتاژ و جریان صفر به پایان می‌رسد و با توجه به تشابه روابط حالت‌های اول با حالت‌های اول تا ششم از بیان روابط این



شکل ۱۱: شکل موج ولتاژ و جریان سلف خروجی.

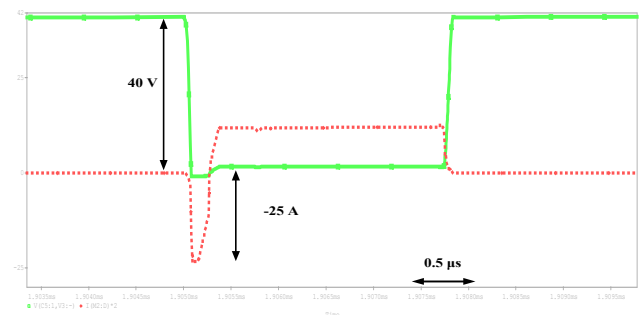
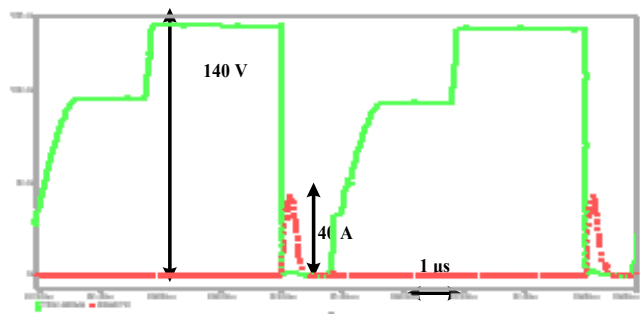
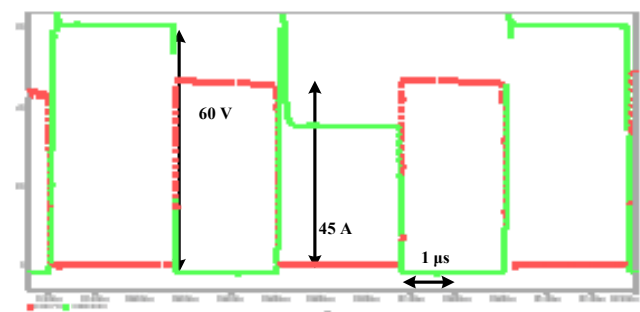
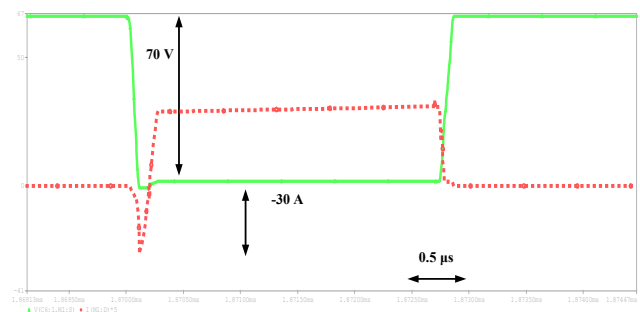
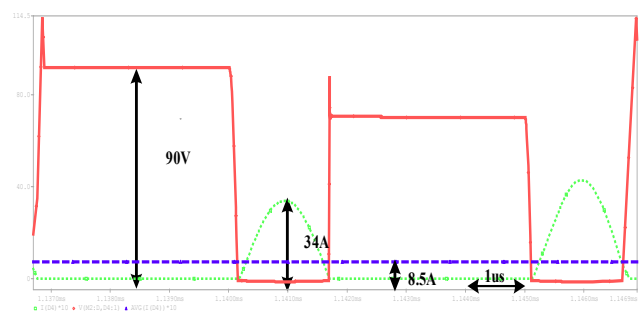
جدول ۱: مقادیر طراحی شده برای مبدل پیشنهادی.

المان‌ها	مقادیر
V_i	۴۰ V
V_v	۶۵ V
C_{sv}	۴/V nF
C_{sr}	۴/V nF
C_v	۲۲ nF
L_v	۱۰ μ H
L_o	۲۰۰ μ H
L_{sv}, L_{sr}	۰/۸ μ H
C_o	۲۲ μ F
R_L	۲/۲۵ Ω
Switches S_v, S_r	IRFP460
Switch S_v	IRF640
Diodes $D_v, D_r, D_{sv}, D_{sr}, D_o, D_{v/r}, D_{r/v}$	BYV ۳۲-۲۰۰
f_{sv}, f_{sr}	۱۰۰ kHz
f_{sv}	۲۰۰ kHz
Duty cycle S_v	۰/۲۵
Duty cycle S_r	۰/۲۵
Duty cycle S_v	۰/۱

پردازش می‌شود همان توانی است که از ورودی جذب و در خازن سوم ذخیره می‌شود. این توان از (۱۲) محاسبه می‌شود

$$P_o = \frac{1}{2} C_{sv} (2V_v)^2 2f_{sw} \quad (12)$$

در رابطه فوق، f_{sw} فرکانس کلیدزنی سویچ‌های اول و دوم است. همچنین ولتاژ خروجی از رابطه $V_o = D_v \times V_i + D_r \times V_v$ مشخص می‌شود و با توجه به این که توان ورودی یک به غیر از قسمت توان مربوط به مدار کمکی از رابطه $I_o \times D_v \times V_i$ و توان ورودی دوم از رابطه $I_o \times D_r \times V_v$ به دست می‌آید. بنابراین با تنظیم ضربی وظیفه‌ها می‌توان ولتاژ خروجی و توان هر ورودی را کنترل نمود. در این روابط I_o جریان ولتاژ خروجی مبدل است که با متوسط جریان سلف مبدل برابر است. شکل‌های خروجی مبدل است که با نتایج شبیه‌سازی مبدل پیشنهادی را نشان می‌دهد. برای بهتر مشخص شدن شرایط کلیدزنی نرم المان‌های نیمه‌هادی یک دوره تناوب کامل مبدل در این شکل‌ها نشان داده شده است، همان طور که مشخص است نتایج شبیه‌سازی، تحلیل‌های تئوری بخش قبل را تأیید کرده و شرایط کلیدزنی نرم برای تمام المان‌های نیمه‌هادی مدار برقرار می‌باشد. در شکل‌های ۶ و ۹ دیده می‌شود که ابتدا ولتاژ کلید (شکل با خط کامل) صفر شده و سپس جریان منفی از کلید عبور می‌کند (هدایت دیود بدن) و بعد از آن کلید در ولتاژ صفر شروع به هدایت می‌کند. علاوه بر این در

شکل ۱۲: شکل موج ولتاژ و جریان کلید S_v (شکل سبز V و شکل قرمز I).شکل ۱۳: شکل موج ولتاژ و جریان کلید کمکی (شکل سبز V و شکل قرمز I).شکل ۱۴: شکل موج ولتاژ و جریان دیود D_o (شکل سبز V و شکل قرمز I).شکل ۱۵: شکل موج ولتاژ و جریان کلید S_r (شکل سبز V و شکل قرمز I).شکل ۱۶: شکل موج ولتاژ دیود D_r و شکل موج جریان و متوسط آن (شکل قرمز V ، شکل سبز I و شکل آبی متوسط آن I_{avg}).

جدول ۲: مقایسه‌ای بین مبدل پیشنهادی و چند مبدل دیگر.

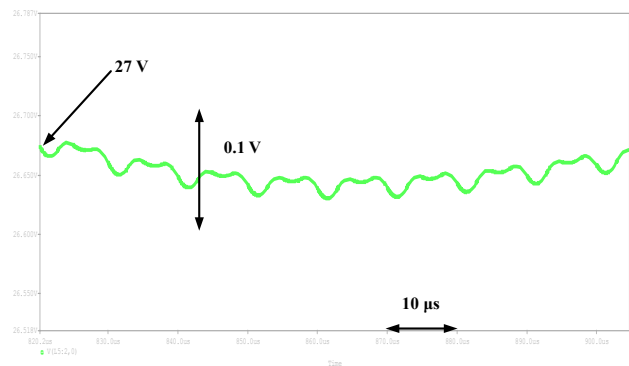
مبدل‌ها	نوع کلیدزنی	تعداد کلیدها	تعداد دیودها	تعداد المان‌های مغناطیسی	نوع تزویج
پیشنهادی	نرم	۳	۷	۴	الکتریکی
[۲]	مبدل	سخت	۸	۱۲	مغناطیسی
[۴]	مبدل	سخت	۶	۰	مغناطیسی
[۱۲]	مبدل	سخت	۲	۲	الکتریکی

۴- نتیجه‌گیری

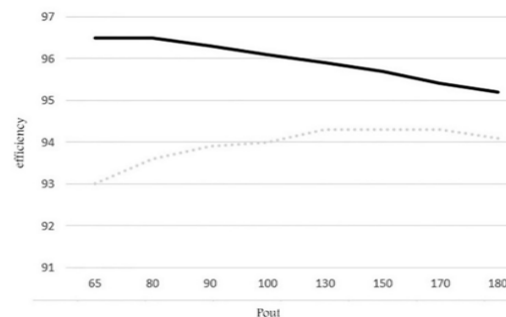
در این مقاله ابتدا به معرفی مبدل‌های چندورودی و بیان کاربرد آنها پرداخته شد و با توجه به مشکل تلفات مدارهایی که کلیدهای آنها تحت شرایط سخت روشن و خاموش می‌شوند، سعی گردید تا شرایط کلیدزنی نرم برای کلیدهای مبدل‌های چندورودی فراهم گردد. در این مقاله یک مبدل چندورودی کلیدزنی نرم ارائه شد. این مبدل یک مبدل باک دوورودی می‌باشد که با استفاده از یک مدار کمکی شرایط کلیدزنی نرم برای المان‌های مدار فراهم شده است. نحوه عملکرد این مبدل در این مقاله به طور کامل شرح داده شده و پس از آن با استفاده از نتایج شبیه‌سازی صحت عملکرد مدار مورد ارزیابی قرار گرفته است.

مراجع

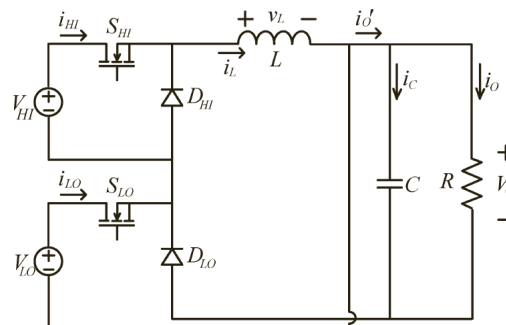
- [1] H. Tao, A. Kotsopoulos, J. L. Duarte, and M. A. Hendrix, "Family of multiport bidirectional DC-DC converters," in *Electric Power Applications, IEE Proc.*, vol. 153, pp. 451-458, May 2006.
- [2] M. Chen, C. Liu, and Y. Wu, "Multi-input DC/DC converter based on the multiwinding transformer for renewable energy applications," *IEEE Trans. on Industry Applications*, vol. 38, no. 4, pp. 1096-1104, Jul./Aug., 2002.
- [3] Y. C. Liu and Y. M. Chen, "A systematic approach to synthesizing multi-input DC-DC converters," *IEEE Trans. on Power Electronics*, vol. 24, no. 1, pp. 116-127, Jan. 2009.
- [4] D. Liu and H. Li, "A ZVS bi-directional DC converter for multiple energy storage elements," *IEEE Trans. on Power Electronics*, vol. 21, no. 5, pp. 1513-1517, Sept.. 2006.
- [5] D. Liu and H. Li, "A novel multiple-input ZVS bidirectional DC-DC converter," in *Proc. 31st Annual Conf. of IEEE Industrial Electronics Society, IECON'05*, pp. 579-584, Raleigh, NC, USA, 6-10 Nov. 2005.
- [6] R. J. Wai, C. Y. Lin, J. J. Liaw, and Y. R. Chang, "Newly designed ZVS multi-input converter," *IEEE Trans. on Industrial Electronics*, vol. 58, no. 2, pp. 555-566, Feb. 2011.
- [7] Y. C. Liu and Y. M. Chen, "A systematic approach to synthesizing multi-input DC/DC converters," in *Proc. IEEE Power Electronics Specialists Conf., PESC'07*, pp. 2626-2632, Orlando, FL, USA, 17-21 Jun. 2007.
- [8] K. P. Yalamanchili and M. Ferdowsi, "Review of multiple input DC-DC converters for electric and hybrid vehicles," in *IEEE Conf. Vehicle Power and Propulsion*, pp. 160-163, Chicago, IL, USA, 7-7 Sept. 2005.
- [9] K. Gummi and M. Ferdowsi, "Double-input DC-DC power electronic converters for electric-drive vehicles-topology exploration and synthesis using a single-pole triple-throw switch," *IEEE Trans. on Industrial Electronics*, vol. 57, no. 2, pp. 617-623, Feb. 2010.
- [10] K. Gummi and M. Ferdowsi, "Synthesis of double-input DC-DC converters using a single-pole triple-throw switch as a building block," in *Proc. IEEE Power Electronics Specialists Conf., PESC'08*, pp. 2819-2823, Rhodes, Greece, 15-19 Jun. 2008.
- [11] M. Gavris, N. Muntean, and O. Cornea, "Dual input hybrid buck LC converter," in *Proc. Int. Symp. Power Electron Drives Autom Motion*, pp. 309-314, Sorrento, Italy, 20-22 Jun. 2012.
- [12] R. Wai, C. Lin, and B. Chen, "High-efficiency DC-DC converter with two input power sources," *IEEE Trans. on Power Electronics*, vol. 27, no. 4, pp. 1862-1865, Apr. 2012.
- [13] Y. M Chen, Y. C. Liu, and S. H. Lin, "Double-input PWM DC/DC converter for high-/low-voltage sources," *IEEE Trans. on Industrial Electronics*, vol. 53, no. 5, pp. 1538-1545, Oct. 2006.



شکل ۱۲: شکل موج ولتاژ خروجی.



شکل ۱۳: بازده مبدل پیشنهادی بر حسب توان خروجی در مقایسه با مبدل کلیدزنی سخت [۱۳] (خط کامل: مبدل پیشنهادی و خطچین: مبدل کلیدزنی سخت).



شکل ۱۴: شمای مبدل چندورودی کلیدزنی سخت معرفی شده در [۱۳].

شکل ۷ دیده می‌شود که افزایش و کاهش جریان کلید (خطچین) به صورت روزانه بوده و آرام افزایش و کاهش می‌یابد، پس کلید تحت جریان صفر کلیدزنی می‌شود. همچنین در شکل ۱۰ جریان i_L داده شده است. مدار کمکی می‌تواند به ورودی سوم متصل شود و این جریان از خازن موازی ورودی سوم جذب شود. همان‌طور که دیده می‌شود متوسط جریان جذب شده توسط این دیود ۰/۸ آمپر است. همچنین شکل ۱۲ ولتاژ خروجی مبدل را نشان می‌دهد.

۳- بازده مبدل پیشنهادی

با ایجاد شرایط کلیدزنی نرم در مبدل ذکر شده، بازده به صورت چشم‌گیری نسبت به حالت بدون کلیدزنی نرم افزایش یافته است. شکل ۱۳ بازده مبدل پیشنهادی در مقایسه با مبدل با شرایط کلیدزنی سخت را نشان می‌دهد. همچنین شکل ۱۴ شمای کلی این مبدل را نشان می‌دهد [۱۳]. همان‌طور که مشخص است بازده نسبت به حالت کلیدزنی سخت افزایش یافته است. راندمان مبدل‌ها بر اساس نتایج شبیه‌سازی توسط نرم‌افزار ارکد به دست آمده است.

در جدول ۲ مقایسه‌ای بین مبدل پیشنهادی و چند مبدل دیگر انجام شده است.

بهمن رئیسی در سال ۱۳۹۴ مدرک کارشناسی مهندسی برق خود را از دانشگاه ازاد اسلامی و در سال ۱۳۹۷ مدرک کارشناسی ارشد مهندسی برق خود را از دانشگاه صنعتی اصفهان دریافت نمود. زمینه‌های تحقیقاتی مورد علاقه ایشان عبارتند از: مبدل‌های سوئیچینگ توان بالا و ولتاژ بالا، منابع تغذیه شارژ خازنی، تکنیک‌های سوئیچینگ نرم، EMI در مبدل‌های سوئیچینگ، طراحی مدار کترل و گیت درایو منابع تغذیه سوئیچینگ.

احسان ادیب مدارک کارشناسی، کارشناسی ارشد و دکتری خود در زمینه الکترونیک و الکترووتیک قدرت در سال‌های ۱۳۸۳، ۱۳۸۵ و ۱۳۸۸ از دانشگاه صنعتی اصفهان دریافت نمود. هم‌اکنون ایشان دانشیار گروه الکترونیک دانشگاه صنعتی اصفهان است و در موضوع مدارهای الکترونیک قدرت و کاربردهای آنها در حال تحقیق است.

بهروز مظاہری تهرانی تحصیلات خود را در مقاطع کارشناسی و کارشناسی ارشد برق و الکترونیک بهترتب در سال‌های ۱۳۹۴ و ۱۳۹۶ در دانشگاه صنعتی اصفهان به پایان رسانده است. زمینه‌های تحقیقاتی مورد علاقه ایشان عبارتند از: مبدل‌های کلیدزنی، مدارهای راهانداز چراغ‌های LED، مدارهای خودنوسان‌ساز و مبدل‌های دوجهته می‌باشد.

مهدی خرم‌دشتی در سال ۱۳۹۱ مدرک کارشناسی مهندسی برق در گرایش الکترونیک خود را از دانشگاه آزاد اسلامی واحد خوارسگان و در سال ۱۳۹۴ مدرک کارشناسی ارشد مهندسی برق خود را از صنعتی اصفهان دریافت نمود. وی در سال‌های ۱۳۹۱ تا ۱۳۹۴ به عنوان مسئول امور طراحی مدارهای الکتریکی در شرکت پویا الکترونیک فعالیت کرد و در ادامه به عنوان مسئول واحد تحقیق و توسعه وارد شرکت افساکو گردید و تحقیقات خود را در زمینه تجهیزات اندازه‌گیری آغاز نمود. زمینه‌های علمی مورد علاقه ایشان شامل موضوعاتی مانند مبدل‌ها و اینورترهای قدرت، هوشمندسازی وسایل و تجهیزات اندازه‌گیری ابزار دقیق می‌باشد.